

УДК 621.373 : 535

**МАСШТАБНЫЙ КОЭФФИЦИЕНТ
ДЛЯ НАСЫЩАЮЩИХ ВСТРЕЧНЫХ ВОЛН
В КОЛЬЦЕВОМ ГАЗОВОМ ЛАЗЕРЕ**

И. В. Соколов

Теоретически рассмотрено влияние дисперсии активной среды кольцевого газового лазера на частоту биений встречных волн в случае, когда интенсивность волн не мала и нельзя воспользоваться теорией возмущений по силе поля. В пренебрежении эффектами модуляции заселенности вычислен масштабный коэффициент для среды, состоящей из одного изотопа (вне центра линии усиления) и для равноизотопной смеси. Результат выражен через плазменную функцию от комплексного аргумента. Для активной среды, у которой контур усиления определяется неоднородным уширением, даны приближенные формулы для масштабного коэффициента, применимые вблизи центра линии усиления равноизотопной смеси.

Введение

Вопрос о влиянии дисперсионных свойств активной среды кольцевого газового лазера на частоту биений встречных волн исследовался экспериментально и теоретически в ряде работ [1-4]. В случае малых интенсивностей встречных волн дисперсионные вклады в частоту биений рассчитывались с помощью теории возмущений [1, 2]. Однако в некоторых экспериментах поля не являются слабыми, и для интерпретации получаемых данных требуется знать поведение масштабного коэффициента для встречных волн насыщающей интенсивности. Это необходимо также для выбора условий, при которых частота биений встречных волн наименее чувствительна к колебаниям интенсивности поля, частоты генерации и других физических параметров.

В данной работе проведен расчет масштабного коэффициента для насыщающих встречных линейно поляризованных волн в активной среде, состоящей из двух или одного изотопа (в случае одного изотопа — для генерации вне области лэмбовского провала). Добротности встречных волн считаются равными. Найдено общее выражение для масштабного коэффициента и его значение в полях такой интенсивности, что $\Gamma\sqrt{1+I} \ll \ll k\nu_0 |\omega - \omega^n|$, т. е. когда уширение сильным полем еще не превратило неоднородную линию усиления в однородно уширенную (выше Γ — постоянная поперечной релаксации, I — безразмерная интенсивность, $k\nu_0$ — допплеровская ширина, ω — частота генерации, $\omega^n = \omega^I$, ω^{Π} — частоты переходов в изотопах).

Две встречные волны одной моды имеют частоты ω_1 , ω_2 и волновые векторы $k_1 = k$, $k_2 = -k$

$$E(z, t) = \sum_{i=1, 2} E_i(t) \cos(\omega_i t - k_i z), \quad (1)$$

безразмерная интенсивность каждой волны I_i определена как $I_i = d^2 E_i^2 (\gamma_a + \gamma_b) / 2\hbar^2 \Gamma \gamma_a \gamma_b$, где d — матричный элемент дипольного момента, γ_a и γ_b — постоянные распада рабочих уровней.

Принятое нами условие $\Gamma\sqrt{1+I} \ll |\omega - \omega^n|$ означает, что вклад атомов с малыми скоростями в комплексную восприимчивость на частоте генерации мал, и можно пренебречь модуляцией заселенности. Соотношение $\Gamma \gg \gamma_a, \gamma_b$, которое часто бывает выполнено, улучшает это приближение.

Обозначим полную восприимчивость среды на частоте i ($i = 1, 2$) волны как $\bar{\chi}_i(\Delta) = \chi_i(\Delta^I) + \chi_i(\Delta^{II})$, где $\chi_i(\Delta^n)$ есть вклад одного изотопа. Исходное выражение для одноизотопной восприимчивости найдено в [5] и имеет (без модуляции заселенности) следующий вид:

$$\begin{aligned} \chi_1(\Delta^n) = & -\frac{i}{\sqrt{\pi}} \frac{d^2 N}{\hbar k v_0} \int_{-\infty}^{\infty} du e^{-\eta^2 u^2} \times \\ & \times \left\{ [1 - i(\Delta^n + f - u)] \left[1 + \frac{I_1}{1 + (\Delta^n + f - u)^2} + \frac{I_2}{1 + (\Delta^n - f + u)^2} \right]^{-1} \right\}, \end{aligned} \quad (2)$$

где $(\omega_1 + \omega_2)/2 = \omega$ — частота генерирующей моды; $(\omega_1 - \omega_2)/\Gamma = 2f$ — безразмерная частота биений встречных волн; $(\omega - \omega^n)/\Gamma = \Delta^n$ — расстройка частоты относительно центра линии изотопа; $[\omega - (\omega^I + \omega^{II})/2]/\Gamma = \Delta$ — расстройка относительно центра линии усиления двухизотопной среды; $(\omega^I - \omega^{II})/\Gamma = 2s$ — частотный интервал между линиями изотопов (причем $\Delta^I = \Delta - s$, $\Delta^{II} = \Delta + s$); $N = N^I = N^{II}$ — число активных атомов изотопа; $u = kv/\Gamma$ — безразмерная скорость атома; $\eta = \Gamma/kv_0$. Для нахождения $\chi_2(\Delta^n)$ следует заменить в (2) величину $[1 - i(\Delta^n + f - u)]$ на $[1 - i(\Delta^n - f + u)]$.

Определение масштабного коэффициента в насыщающих полях

В установившемся режиме генерации и в отсутствие обратного рассеяния масштабный коэффициент связан с восприимчивостью следующим соотношением:

$$\omega_1 - \omega_2 = \Omega_p - 2\pi\omega(\bar{\chi}'_1 - \bar{\chi}'_2) \approx \Omega_p(1 + K_1), \quad (3)$$

где $\Omega_p = \Omega_1 - \Omega_2$ — разность резонаторных частот встречных волн, связанная с вращением и невзаимностью; $\bar{\chi}_i = \bar{\chi}'_i + i\bar{\chi}''_i$. Выделим линейный по Ω_p (т. е. по $(\omega_1 - \omega_2) \approx \Omega_p$) вклад в восприимчивость. Если $\Omega_p = 0$, то $I_1 = I_2 = I$, $\bar{\chi}_1 = \bar{\chi}_2$. При вращении резонатора восприимчивость зависит от Ω_p как явно (через $f \approx \Omega_p/2\Gamma$), так и через возникающие добавки к интенсивностям, $I_i = I + \delta I_i$. Эти добавки найдем из условия баланса усиления и потерь в неподвижном (а) и врачающем (б) лазере

$$\frac{\omega}{Q} + 4\pi\omega\bar{\chi}''_i = 0, \quad (4a)$$

$$\frac{\omega}{Q} + 4\pi\omega \left\{ \bar{\chi}''_i + \frac{\partial \bar{\chi}''_i}{\partial I_1} \delta I_1 + \frac{\partial \bar{\chi}''_i}{\partial I_2} \delta I_2 + \frac{\partial \bar{\chi}''_i}{\partial f} f \right\} = 0. \quad (4b)$$

Учтем свойство симметрии комплексной восприимчивости, очевидное из (2)

$$\begin{cases} \chi_1(I_1, I_2, \Delta^n, f) = \chi_2(I_1 \leftrightarrow I_2, \Delta^n, -f), \\ \bar{\chi}_1(I_1, I_2, \Delta, f) = \bar{\chi}_2(I_1 \leftrightarrow I_2, \Delta, -f), \end{cases} \quad (5)$$

откуда следует

$$\frac{\partial \bar{\chi}_1}{\partial f} = -\frac{\partial \bar{\chi}_2}{\partial f}; \quad \frac{\partial \bar{\chi}_1}{\partial I_1} = \frac{\partial \bar{\chi}_2}{\partial I_2}; \quad \frac{\partial \bar{\chi}_1}{\partial I_2} = \frac{\partial \bar{\chi}_2}{\partial I_1}. \quad (6)$$

В (6) и (4б) подразумевается, что после взятия производных полагаем $I_1 = I_2 = I$, $f = 0$. Из этих соотношений находим

$$\delta I_1 = -\delta I_2; \quad \delta I_1 = -f \frac{\partial \bar{\chi}''_2}{\partial f} \left(\frac{\partial \bar{\chi}''_1}{\partial I_1} - \frac{\partial \bar{\chi}''_1}{\partial I_2} \right)^{-1}. \quad (7)$$

Явная и через δI_i зависимость восприимчивости от частоты биений встречных волн приводит к выражению для масштабного коэффициента вида

$$K_1 = -\frac{2\pi\omega}{\Gamma} \left\{ \frac{\partial \bar{x}'_1}{\partial f} - \frac{\partial \bar{x}''_1}{\partial f} \frac{\partial \bar{x}'_1}{\partial J} \left(\frac{\partial \bar{x}''_1}{\partial J} \right)^{-1} \right\}. \quad (8)$$

Первое слагаемое есть вклад сдвига частот встречных волн на дисперсионном контуре, второе — вклад разности интенсивностей. Введены переменные I , J , такие, что $I_1 = I + J$, $I_2 = I - J$.

Зависимость масштабного коэффициента от параметров активной среды

В Приложении 1 рассчитан масштабный коэффициент одноизотопной среды (вне центра одноизотопной линии усиления). В Приложении 2 найден масштабный коэффициент для линии усиления из двух изотопов (1 : 1), который имеет следующий вид:

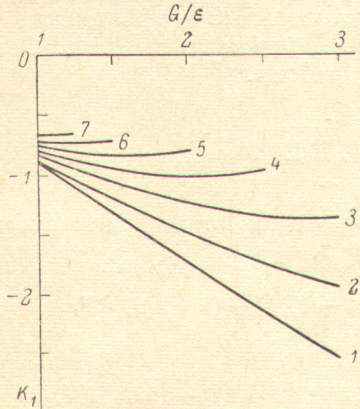


Рис. 1. Масштабный коэффициент (без множителя $c\varepsilon/2lkv_0$) в зависимости от превышения усиления над потерями.

Частота генерации совпадает с центром линии усиления. Кривая 1 отвечает давлению $p \rightarrow 0$, 2 — $p=1/2$ тор, 3 — 1, 4 — 3/2, 5 — 2, 6 — 5/2, 7 — 3 тор.

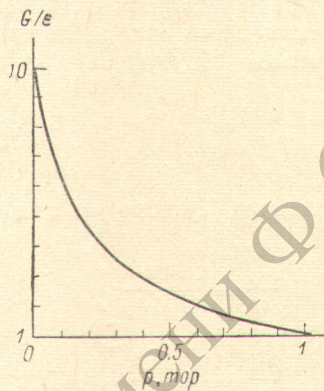


Рис. 2. Превышение над порогом, при котором масштабный коэффициент не зависит от расстройки (в порядке δ^2), как функция от давления в активной среде.

ден масштабный коэффициент среды, состоящей из двух изотопов (1 : 1), который имеет следующий вид:

$$K_1 = -\frac{cG}{2lkv_0 Z_i(\xi)} \left\{ 2(\xi Z_r(\xi) + 1) + \eta Z_i(\xi) \left[\frac{\varepsilon}{G} + (4\xi^2 - 3) \frac{G}{\varepsilon} \right] + \right. \\ \left. + 2\delta^2 [Z_r(\xi) (2\xi^3 - 3\xi) + 2\xi^2 - 2] + \right. \\ \left. + \delta^2 \eta Z_i(\xi) \frac{1}{\xi^2} \left[(-4\xi^4 + 1) \frac{\varepsilon}{G} + (32\xi^6 - 56\xi^4 - 14\xi^2 + 1) \frac{G}{\varepsilon} \right] \right\}. \quad (9)$$

Здесь G/ε — отношение усиления и потерь за проход [см. (21)]; l — периметр резонатора; $Z_r(\xi)$ и $Z_i(\xi)$ — вещественная и мнимая часть плазменной функции; δ и ξ — расстройка частоты генерации от центра линии и полуразность частот изотопов в единицах kv_0 .

Воспользуемся следующими значениями параметров активной среды Не—Не лазера на длине волны 0.63 мкм: $kv_0 = 1000$ МГц, $|\omega^I - \omega^{II}| = 870$ МГц; $G = (10 + 60p)$ МГц, где p — давление в активной среде в мм рт. ст. На рис. 1 представлена зависимость масштабного коэффициента на центре линии от превышения усиления над потерями для ряда значений давления (при этом опущен числительный множитель $c\varepsilon/2lkv_0$, который обычно имеет порядок 10^{-3}).

Значительный интерес представляет область лазерных параметров, где масштабный коэффициент слабо зависит от расстройки частоты генерации относительно центра линии. На рис. 2 представлена связь между значениями превышения G/ε и давления, при которых обращается в ноль коэффициент при δ^2 в (9). При этом в квадратичном по расстройке приближении масштабный коэффициент независим от частоты генерации.

Представляет интерес сравнить наши результаты с приближенным вычислением масштабного коэффициента для сильного поля в работе [3]. Вклад дисперсии среды в частоту биений встречных волн авторы [3] учитывают как разность частотных затягиваний стоячей волны при ее последовательной настройке на частоты ω_1 и ω_2 . Нетрудно видеть, что влияние взаимного насыщения встречных волн при этом передается неверно. Вращение резонатора приводит к сдвигу беннетовских провалов от встречных волн в одну и ту же сторону на контуре усиления, в то время как изменение частоты стоячей волны сдвигает беннетовские провалы в разные стороны. Оценка показывает, что соответствующая погрешность в масштабном коэффициенте имеет порядок величины $\eta I / \sqrt{1+I}$ по сравнению с величинами в фигурной скобке в (9) и (18), т. е. не меньше самих зависящих от интенсивности вкладов в масштабный коэффициент.

В заключение автор благодарит Э. Е. Фрадкина и В. А. Соколова за полезные обсуждения результатов работы.

ПРИЛОЖЕНИЕ 1

С помощью (2) находим значения производных от восприимчивости

$$\begin{aligned} \frac{\partial \chi_1}{\partial f} &= \frac{2id^2N\eta^2}{\sqrt{\pi}\hbar kv_0} \int_{-\infty}^{\infty} du e^{-\eta^2 u^2} u [1 + i(\Delta - u)] [1 + (\Delta + u)^2] P^{-1}, \\ \frac{\partial \chi_1}{\partial J} &= \frac{i}{\sqrt{\pi}\hbar kv_0} \int_{-\infty}^{\infty} du e^{-\eta^2 u^2} \{u^2 [8\Delta^2 + 4i\Delta(\Delta^2 - 1)] - 4iu^4\Delta\} P^{-2}, \end{aligned} \quad (10)$$

где P — полином вида

$$P = [1 + (\Delta - u)^2][1 + (\Delta + u)^2] + I[2 + (\Delta + u)^2 + (\Delta - u)^2]. \quad (11)$$

Поскольку здесь рассматриваются одноизотопные величины, значок изотопа при Δ опустим. Разложим величины P^{-1} и P^{-2} на простые дроби и воспользуемся известными свойствами плазменной функции (см. [6])

$$\int_{-\infty}^{\infty} dy \frac{e^{-y^2}}{y - x} = \sqrt{\pi} Z(x); \quad \int_{-\infty}^{\infty} dy \frac{e^{-y^2}}{(y - x)^2} = -2\sqrt{\pi} (xZ(x) + 1),$$

где $\operatorname{Im} x > 0$. Нули P имеют вид $u_{1,2,3,4} = \pm a \pm ib$ [7], где

$$\left. \begin{aligned} a &= \left\{ -\frac{1}{2}(1 - \Delta^2 + I) + \frac{1}{2} [(1 + \Delta^2)(1 + \Delta^2 + 2I)]^{1/2} \right\}^{1/2}, \\ b &= \left\{ \frac{1}{2}(1 - \Delta^2 + I) + \frac{1}{2} [(1 + \Delta^2)(1 + \Delta^2 + 2I)]^{1/2} \right\}^{1/2}. \end{aligned} \right\} \quad (12)$$

Это решение имеет место при $\Delta^2 > I^2/4(1 + I)$, т. е. им можно пользоваться вблизи центра линии усиления двухизотопной среды. Разложение на простые дроби найдем, используя симметрию нулей, в виде

$$\left. \begin{aligned} P^{-1} &= 2 \operatorname{Re} \left\{ \frac{M}{u - u_1} - \frac{M}{u + u_1} \right\}, \\ P^{-2} &= 2 \operatorname{Re} \left\{ \frac{L}{u - u_1} - \frac{L}{u + u_1} \right\} + 2 \operatorname{Re} \left\{ \frac{M^2}{(u - u_1)^2} + \frac{M^2}{(u + u_1)^2} \right\}, \end{aligned} \right\} \quad (13)$$

где

$$u_1 = a + ib; \quad M = [8iab(a + ib)]^{-1}; \quad L = -8M^3[iab + (a + ib)^2].$$

В результате вычислений можно получить для производных от восприимчивости

$$\left. \begin{aligned} \frac{\partial \alpha_1}{\partial f} &= \frac{8id^2N\eta}{\hbar kv_0} \{ \eta^{-1} (-i + 2\Delta + i\Delta^2) \operatorname{Re}\{Mx^2Z(x)\} - i\eta^{-3} \operatorname{Re}\{Mx^3(xZ(x) + 1)\} \}, \\ \frac{\partial \alpha_1}{\partial J} &= \frac{id^2N}{\hbar kv_0} \{ [8\Delta^2 + 4i\Delta(\Delta^2 - 1)] [4\eta^{-2} \operatorname{Re}\{Lx(xZ(x) + 1)\} + \\ &\quad + 4\eta^{-1} \operatorname{Re}\{M^2[Z(x)(-2x^3 + 2x) - 2x^2 + 1]\}] - \\ &\quad - 4i\Delta[2\eta^{-4} \operatorname{Re}\{Lx[2x^3Z(x) + 2x^2 + 1]\}] - \\ &\quad - 2\eta^{-3} \operatorname{Re}\{M^2[Z(x)(4x^5 - 8x^3) + 4x^4 - 6x^2 - 1]\} \}. \end{aligned} \right\} \quad (14)$$

Здесь $x = \eta u_1$. Подстановка этих величин в общее выражение (8), которое верно и в одноизотопном случае (при замене $\bar{x}_i \rightarrow x_i$), дает масштабный коэффициент в среде, состоящей из одного изотопа.

Если среда обладает широкой неоднородной линией, $kv_0 \gg \Gamma \sqrt{1+I}$, то при достаточно больших расстройках, $|\omega - \omega''| \gg \Gamma \sqrt{1+I}$, вид масштабного коэффициента упрощается. Величины $\eta \sqrt{1+I}$, $\Delta^{-1} \sqrt{1+I}$ являются малыми параметрами, и для $x = \eta u_1 \equiv \alpha + i\beta$ находим

$$\alpha = \eta |\Delta| \left[1 + O\left(\frac{I^2}{\Delta^4}\right) \right] \approx \eta |\Delta|; \quad \beta = \eta \sqrt{1+I} \left[1 + O\left(\frac{1}{\Delta^2}\right) \right] \approx \eta \sqrt{1+I}. \quad (15)$$

Разложим величины $Z(x)$, M , L в (14) в ряд около значения $x = \alpha$, считая β малым параметром того же порядка, что и введенные выше. После подстановки в эти ряды приближенных значений α и β из (15) находим для комплексной восприимчивости

$$\left. \begin{aligned} \frac{\partial \alpha'_1}{\partial f} &= \frac{d^2N\eta}{\hbar kv_0} \left\{ 2(\alpha Z_r(\alpha) + 1) + \eta Z_i(\alpha) \left[\frac{1}{\sqrt{1+I}} + (4\alpha^2 - 3) \frac{\sqrt{1+I}}{I} \right] \right\}, \\ \frac{\partial \alpha''_1}{\partial f} &= \frac{d^2N\eta}{\hbar kv_0} \frac{2\eta\Delta Z_i(\alpha)}{\sqrt{1+I}}, \\ \frac{\partial \alpha'_1}{\partial J} &= \frac{d^2N}{\hbar kv_0} \frac{Z_i(\alpha)}{4\Delta} \left\{ (1+I)^{-\frac{3}{2}} - \frac{4\alpha^2 - 1}{\sqrt{1+I}} \right\}, \\ \frac{\partial \alpha''_1}{\partial J} &= \frac{d^2N}{2\hbar kv_0} Z_i(\alpha) (1+I)^{-\frac{3}{2}}. \end{aligned} \right\} \quad (16)$$

Вещественная и мнимая части плазменной функции от вещественного аргумента $Z_r(\alpha)$ и $Z_i(\alpha)$ даются соотношениями

$$Z_r(\alpha) = -2e^{-\alpha^2} \int_0^\alpha dy e^{-y^2}; \quad Z_i(\alpha) = \sqrt{\pi} e^{-\alpha^2}.$$

ПРИЛОЖЕНИЕ 2

Найдем масштабный коэффициент для двухизотопной (1 : 1) среды. Полагая, что частотный интервал между линиями изотопов достаточно велик, $|\omega^I - \omega^{II}| \gg \Gamma \sqrt{1+I}$, для вклада каждого изотопа используем разложение (16), где необходимо восстановить значок изотопа (при этом $\Delta^I = \Delta - s$, $\Delta^{II} = \Delta + s$, $\alpha^I = \eta |\Delta^I|$, $\alpha^{II} = \eta |\Delta^{II}|$).

Величины $\partial \bar{x}_i / \partial f$, $\partial \bar{x}_i / \partial J$ разложим в ряд по степеням расстройки частоты генерации относительно центра двухизотопной линии Δ . Так как восприимчивость обладает следующим свойством симметрии, вытекающим из (2)

$$\left. \begin{aligned} x_i(I_1, I_2, \Delta^n, f) &= -x_i^*(I_1, I_2, -\Delta^n, -f), \\ x_i(I_1, I_2, \Delta, f) &= -x_i^*(I_1, I_2, -\Delta, -f), \end{aligned} \right\} \quad (17)$$

то фактически можно ограничиться расчетом для одного изотопа; учет второго сводится к удвоению или сокращению вкладов определенной четности по расстройке.

Масштабный коэффициент вблизи центра линии усиления двухизотопной среды получаем в виде

$$K_1 = -\frac{d^2N}{\hbar(kv_0)^2} \left\{ 2(\xi Z_r(\xi) + 1) + \eta Z_i(\xi) \left[\frac{1}{\sqrt{1+I}} + (4\xi^2 - 3)\sqrt{1+I} \right] + \right. \\ \left. + 2\delta^2 [Z_r(\xi)(2\xi^3 - 3\xi) + 2\xi^2 - 2] + \right. \\ \left. + \delta^2 \eta Z_i(\xi) \frac{1}{\xi^2} \left[-\frac{(2\xi^2 - 1)(\xi^2 + 1)}{\sqrt{1+I}} + (24\xi^6 - 46\xi^4 + 11\xi^2 + 1)\sqrt{1+I} \right] \right\}, \quad (18)$$

где удержаны вклады нулевой и второй степени по расстройке, нулевой и первой степени по параметру $\eta\sqrt{1+I} \ll 1$. Через δ , ξ обозначены расстройка от центра линии и полуразность частот изотопов в единицах kv_0 : $\delta = \eta\Delta = [\omega - (\omega^I + \omega^II)/2]/kv_0$, $\xi = (\omega^I - \omega^II)/2kv_0$.

При малых интенсивностях, $I \ll 1$, найденный нами масштабный коэффициент (18) совпадает с вычисленным в третьем порядке теории возмущений в работе [8], если в результате [8] опустить вклад пленения излучения.

Чтобы найти частотную зависимость K_1 при постоянной накачке, нужную для эксперимента, следует выразить интенсивность I через накачку, потери и частоту генерации. Мы определим интенсивность из условия (4а) баланса усиления и потерь, где мнимая часть полной комплексной восприимчивости вблизи центра линии усиления двухизотопной среды есть

$$\pi''_1 = -\frac{2d^2N}{\hbar kv_0} \left\{ \frac{Z_i(\xi)}{\sqrt{1+I}} - 2\eta(\xi Z_r(\xi) + 1) + \delta^2 \left[\frac{Z_i(\xi)(2\xi^2 - 1)}{\sqrt{1+I}} - \right. \right. \\ \left. \left. - 2\eta(Z_r(\xi)(2\xi^3 - 3\xi) + 2\xi^2 - 2) \right] \right\}. \quad (19)$$

При расчете восприимчивости (19) использованы те же приближения, что и для нахождения масштабного коэффициента (18).

Безразмерную интенсивность в зависимости от расстройки находим, используя (4а) и (19), в следующем виде:

$$\sqrt{1+I} \approx \frac{N}{N_{\text{пор.}}} [1 + \delta^2(2\xi^2 - 1)] = \frac{G}{\varepsilon} [1 + \delta^2(2\xi^2 - 1)]. \quad (20)$$

Здесь через $N_{\text{пор.}}$ обозначена пороговая заселенность, при которой относительное усиление на центре линии за один проход активной среды G равно потерям на проход ε

$$\frac{N}{N_{\text{пор.}}} = \frac{8\pi d^2 N Q}{\hbar k v_0} Z_i(\xi); \quad \varepsilon = \frac{l\omega}{cQ}; \quad G = -4\pi\omega\pi''_1 \frac{l}{c} = \frac{8\pi d^2 N l}{\hbar v_0} Z_i(\xi), \quad (21)$$

где l — периметр резонатора. В (20) мы удержали лишь старший по параметру $\eta \ll 1$ вклад; этого достаточно для подстановки в (18). Окончательный вид масштабного коэффициента вблизи центра линии усиления двухизотопной среды дается в зависимости от усиления, потерь и частоты генерации формулой (9).

Литература

- [1] Волновые и флуктуационные процессы в лазерах (под ред. Ю. Л. Климонто-вича). «Наука», М., 1974.
- [2] F. Agorowitz. Appl. Optics, 11, 2146, 1972.
- [3] F. Agorowitz, J. E. Killpatrick, S. P. Callaghan. IEEE J. Quant. Electron., QE-10, 201, 1974.
- [4] В. Е. Привалов, Ю. В. Филатов. Квант. электрон., 2, 1489, 1975.
- [5] Э. Е. Фрадкин. Автореф. докт. дисс., ЛГУ, 1975.
- [6] В. Н. Фаддеева, Н. М. Терентьев. Таблицы значений интеграла вероятностей от комплексного аргумента. М., 1954.
- [7] И. И. Маторин, Я. И. Ханин. Квант. электрон., 3, 2221, 1976.
- [8] В. А. Соколов, Э. Е. Фрадкин. Опт. и спектр., 43, 555, 1977.